

Согласно рис. 3 и рис. 4 максимальное значение температуры для точек на той же глубине  $y = 0,02$  см и отстоящих от кромки на 0,05 см по оси  $x$  равны соответственно 928 °C и 813 °C.

Таким образом, у кромки упрочняемой поверхности нагрев ее ниже и особенно это заметно на выходе диска из упрочняемой поверхности.

#### Литература

1. Резников А.А. Теплофизика резания. М., Машиностроение, 1969. -288 с.
2. Сипайллов В.А. Тепловые процессы при шлифовании и управление качеством поверхности. -М.: Машиностроение, 1987. -167 с.
3. Якимов А.В. и др. Тепловые процессы при обычном и прерывистом шлифовании. -Одесса: ОГПУ, 1998. -272 с.
4. Сизый Ю.А., Кулик Г.Г., Чебитко И.С. Прогнозирование температурного поля в поверхностном слое детали после обработки трением. Авиационно-космическая техника и технология. Труды государственного аэрокосмического университета им. Н.Е. Жуковского "ХАИ", вып. 14, 2000, 234-237.

УДК 621.7.044

### ТЕХНОЛОГИЯ ТЕРМО-ИМПУЛЬСНОЙ ОЧИСТКИ КРИВОЛИНЕЙНЫХ ЛИТЕЙНЫХ КАНАЛОВ КОРПУСНЫХ ДЕТАЛЕЙ МНОГОФАЗНЫМИ ГАЗОЖИДКОСТНЫМИ ВЫСОКОСКОРОСТНЫМИ ПОТОКАМИ

Савченко Н.Ф., канд. техн. наук

(г. Харьков, Украина)

*The features of clearing of channels of the composite form in castings are esteemed.*

Очистка внутренних каналов корпусных деталей относится к сложным и трудоемким технологическим процессам после литейной обработки. Это обусловлено тем, что использование известных методов таких, как продувка воздухом, промывание жидкостями, механическая очистка гибким инструментом, электрогидравлическая очистка колебанием струй жидкости и других технологических процессов, малоэффективно, особенно для каналов малых поперечных размеров.

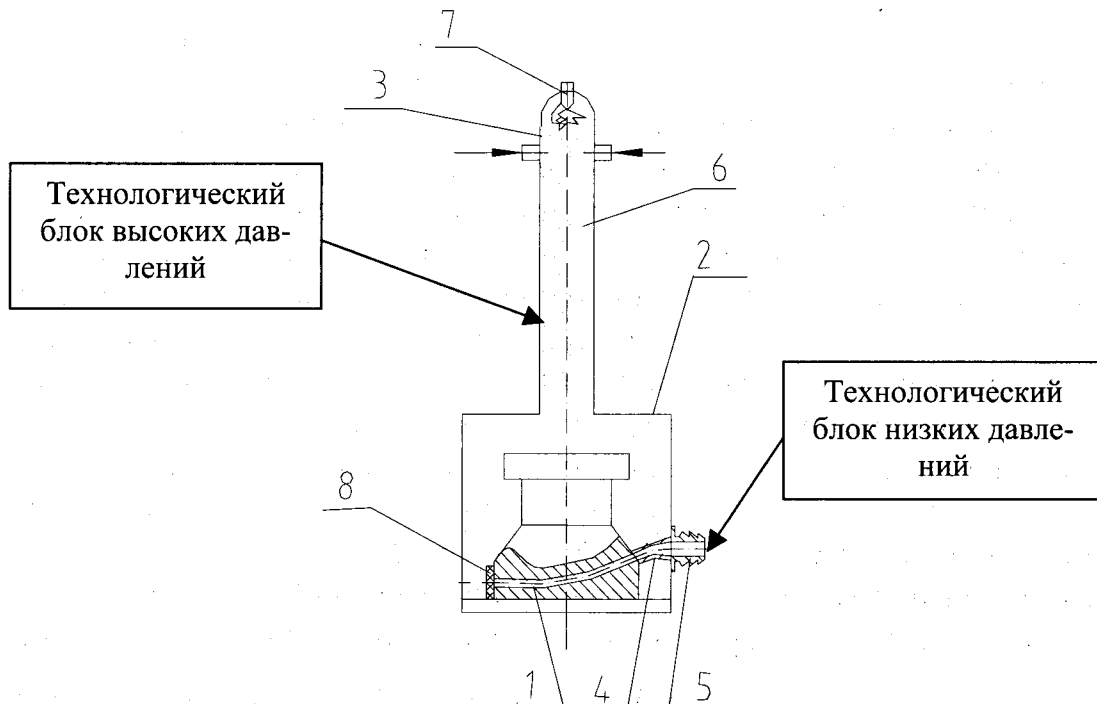


Рис.1: Схема термо-импульсного процесса очистки сложных криволинейных каналов: 1 – отливка; 2 – технологический блок; 3 – газодетонационная трубка; 4 – узел принудительного удаления и фильтрации продуктов; 5 – штуцер для подсоединения полости отливки к камере низкого давления; 6 – исходная многокомпонентная газовая среда; 7 – блок поджига и инициирования химической реакции; 8 – входное устройство для формирования параметров потока.

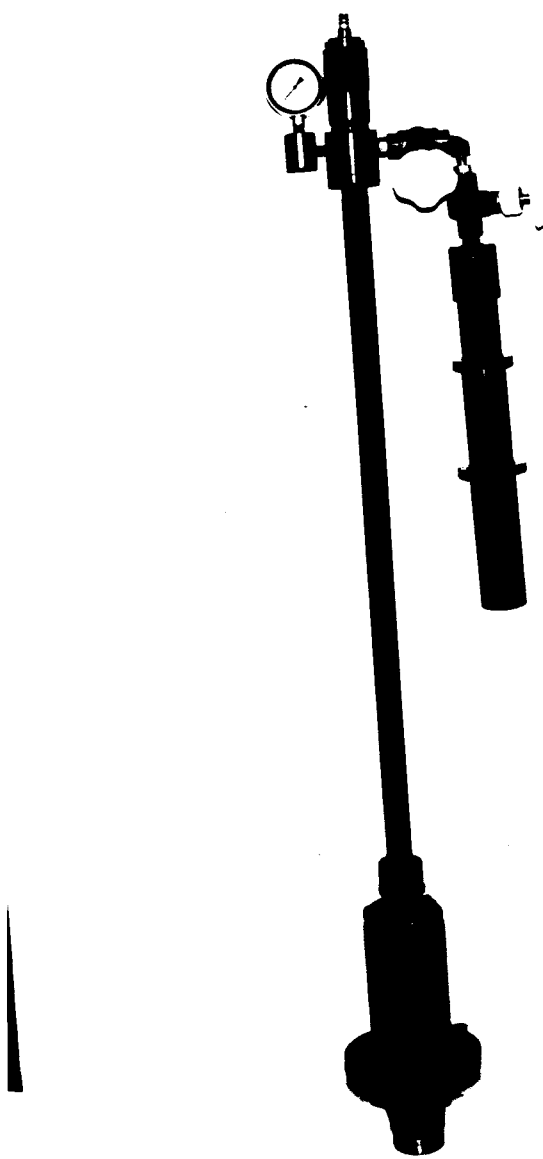


Рис. 2. Опытно-экспериментальный образец устройства «Технологический блок высокого давления» - детонационное устройство.

удаления. Важным представляется и то, что в последние десятилетия интенсивно создаются и развиваются новые технологические процессы, в которых применяются высокие давления и температуры рабочих тел для последовательно-локального воздействия на участки обрабатываемых изделий. Условно эти процессы можно разделить на статические и динамические.

Статические процессы, как правило, ограничены из-за технологических возможностей сравнительно небольшим интервалом давлений (2 – 5 Мпа) и температур (-50<sup>0</sup>C – 300<sup>0</sup>C). Область их применения – изготовление крупногабаритных деталей в литейном и кузнецко-штамповочном производстве, в химической технологии как средство интенсификации технологических процессов.

Динамические процессы связаны с использованием в большинстве случаев энергии импульсных источников энергии, например для взрывного преобразования их энергии в кинетическую, сообщаемую различного рода рабочим органам (твердые, жидкие и газовые), и предполагают создание импульсно-волновых механизмов формообразования изделий или воздействия на их локальные зоны.

Поэтому при выборе рациональной технологии очистки криволинейных каналов следует исходить из того, что процессы в полости каналов являются, с одной стороны химико-механическими, а, с другой, финишными, определяющими качество всего изделия, его надежность и эксплуатационные характеристики. Исходя из этих

Недостатки большинства проявляются как в низком качестве очистки каналов (либо неполное удаление после литьевых остатков, либо нарушение геометрии и пропускной способности каналов), так и в высокой стоимостью их проведения. Сложность проблемы также и в том, что практически отсутствует возможность оперативного обнаружения дефектов во внутренней полости.

Сравнительно невысокая эффективность большинства известных технологических процессов очистки литьевых каналов объясняется, прежде всего, высокопрочным сцеплением остатков формовочной смеси и их большими размерами, искажающими форму поперечного сечения канала, а также во многих случаях влияющими на параметры среды, протекающей в полости канала (например, топливо). Во многих случаях в зоне контакта частиц возникают химически чрезвычайно стойкие интерметаллические соединения, прочно сцепляемые с основным сплавом ( сравнимы и могут превышать предел текучести материала отливки). В результате удаление остатков в сложных криволинейных каналах становится достаточно сложной технологической задачей, вероятность решения которой во многих случаях может считаться неопределенной из-за отсутствия надежных средств контроля состояния качества внутренней поверхности канала, не только параметров шероховатости, но и наличия недопустимых включений на границе «канал – литьевое включение».

Проведенный анализ наиболее существенных факторов показывает, что на выбор метода очистки и прогнозирование его эффективности значительное влияние оказывают такие факторы как диаметр и длина канала, наличие ответвлений и перепадов сечений, отклонения от прямолинейного расположения, материал отливки и тип и материал литьевой оснастки.

Представляется важным при выборе возможных вариантов очистки криволинейных литьевых каналов (КЛК) необходимость оценки особенностей осуществления физико-химических процессов удаления вредных послелитейных остатков, а также максимально учитывать наличие и параметры рабочей среды (тела), используемой для их

предпосылок, можно сделать вывод, что в зоне контакта инструмента, удаляющего послелитейные включения должны соблюдаться следующие условия:

механические усилия в зоне контакта удалаемой части должны быть больше сил ее сцепления с материалом отливки;

удаление остатков смеси должно быть гарантированным, то есть сопряжено с созданием предпосылок для получения ювенальных поверхностей во внутренней полости каналов.

Проведенный комплекс исследований позволяет считать целесообразным разработку новых технологий очистки каналов с использованием специального инструмента по типу многофазных термоимпульсных потоков. Преимуществом такого подхода является прежде всего, то, что в его основе предполагается возможным целенаправленное использование реакции химического превращения одних веществ в другие и использование выделяющейся энергии для механического воздействия на продукты – остатки формовочной смеси и другие литьевые отходы.

Предполагается для термо-импульсной очистки сложных внутренних каналов и полостей замкнутой формы в отливках из различных материалов (стали, титановые и алюминиевые сплавы и др.) использовать специальную установку модульного исполнения (рис.1). В ее состав, кроме силового блока с энергоносителями, например типа горючих газовых смесей, входит технологический – один или два блока с арматурой для сообщения с ними полостей каналов. Один из технологических блоков – импульсная камера –аккумулятор давления (рис.2), в котором создается регулируемая газовая среда (давление, температура), во втором – комбинированные многофазные среды, например газо-жидкостные, абразивно-газовые и другие.

УДК 621.923

## ПЕРСПЕКТИВЫ ПРИМЕНЕНИЯ ВЫСОКОСКОРОСТНОГО РЕЗАНИЯ МАТЕРИАЛОВ

Жданов А.А.

(г. Харьков, Украина)

*In activity the pathes of increase of operational effectiveness of high-velocity cutting of stuffs are justified.*

Обработка материалов резанием по-прежнему является основным методом создания высокоточных и высококачественных деталей машин. Это требует изыскания новых эффективных решений по совершенствованию процессов резания материалов, главным образом, за счет увеличения скорости резания – применения высокоскоростного резания.

За последние десятилетия в этом направлении за рубежом достигнуты определенные успехи: созданы станки и лезвийные инструменты, реализующие скорости резания порядка 100-200 м/с. Данные станки начинают поступать и к нам в Украину, однако, достаточного опыта их использования пока нет. Основные трудности связаны с низкой стойкостью отечественных режущих инструментов, особенно при съеме неравномерных припусков. Для обоснования путей совершенствования процессов высокоскоростного резания оценим их технологические возможности.

В общем случае мощность резания определяется произведением тангенциальной составляющей силы резания  $P_z$  и скорости резания  $V$ , т.е.  $N = P_z \cdot V$ . Очевидно, с увеличением  $V$  мощность резания  $N$  увеличивается, например, при увеличении  $V$  с 2 до 100 м/с мощность резания  $N$  (при  $P_z = \text{const}$ ) увеличится в 50 раз и может достигнуть весьма больших значений. Следовательно, реализация высокоскоростного резания требует создания металорежущих станков повышенной мощности.

С увеличением скорости резания  $V$  уменьшается время контакта инструмента с фиксированным сечением обрабатываемой детали, в результате чего уменьшается время теплового воздействия на деталь. Это способствует улучшению качества обработки. Большее количество тепла уносится образующейся стружкой. Однако, при этом увеличивается мощность теплового потока в зоне резания, равного  $N$ , что ведет к увеличению температуры резания  $\Theta$ . Данный вывод вытекает из простейшей зависимости из курса физики, устанавливающей связь между мощностью теплового потока  $N$  и разностью температур ( $\Theta_1 - \Theta_2$ ) на двух поверхностях стенки толщиной  $l$  (условно равной толщине резца):

$$N = \lambda \cdot S \cdot \frac{(\Theta_1 - \Theta_2)}{l}, \quad (1)$$

где  $\lambda$  - коэффициент теплопроводности материала резца;  $S$  - поверхность стенки (площадь контакта образующейся стружки с передней поверхностью резца в  $\text{м}^2$ ),  $\Theta_1 - \Theta_2 \approx \Theta$ .

Представим  $N$  в виде [1]:  $N = \sigma \cdot S_1 \cdot V$ , где  $\sigma$  - условное напряжение резания,  $\text{Н}/\text{м}^2$ ;  $S_1$  - площадь поперечного сечения среза,  $\text{м}^2$ ;  $S_1 = \alpha \cdot S$ ;  $\alpha$  - безразмерный коэффициент зависящий от толщины стружки и толщины среза ( $\alpha < 1$ ). Тогда, после преобразований зависимости (1), получим

$$\Theta = \frac{\alpha \cdot \sigma \cdot l \cdot V}{\lambda}. \quad (2)$$